

愛媛大学農学部 正員 小川 義

## 1. 主要な点

山地における出水解析は、その目的によって方法も異なると考えられるが、出水現象を一般化するためには、ある程度の物理性が要求されるであろう。現在までの出水解析は、多くにハイドログラフィシミュレーションのみに重きがおかれており、物理性についての検討が欠けていた傾向がある。そこで、ここでは、出水解析にも取り入れるパラメーターとしては、意味のはっきりしていきる kinematic wave 法を山地小流域の出水解析に適用し、パラメーターの吟味をおこない、出水機構について考察するものである。

## 2. kinematic wave 法による従来の出水解析

山地斜面における流水を、kinematic wave 法であらわせば、連続の式(1)、運動の式(2)はつきのようである。

$$\frac{\partial h}{\partial t} + \frac{\partial Q}{\partial x} = R_e \quad (1)$$

$$h = K g^p \quad (2)$$

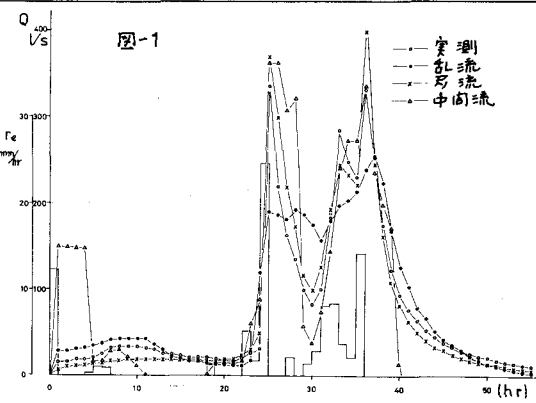
$z = x$  ;  $h$  ; 水深,  $Q$  ; 単位幅あたり流量,  $R_e$  ; 有効雨量強度,  $K, p$  ; 流れの抵抗則によつて決まる定数である。  
 従来から出水解析にもちいられた抵抗則は、表面流としての Manning 則であり、 $p = 3/5$ ,  $K = (N/\sqrt{\sin \theta})^p$  ( $N$ : Manning の粗度係数,  $\sin \theta$ : 斜面勾配) で与えられる。実河川流域への適用では、 $N = 1 \sim 1.5$  が  $99\%$  実験斜面における解析では、 $N = 0.1 \sim 0.4$  程度がえられていく。<sup>2)</sup> 実河川流域における  $N$  の値は、ハイドログラフとのシミュレーションの結果えられた値であり、水理学的根拠はない。 $N$  の水理実験的な値としては、草生水路やガラスウールで被覆された斜面の流れに対する計算された  $N = 0.4$  がえりだけである。この値にしても、水理学的意味は Manning-Strickler 式の粗度高との対応を考えると全くその意味は不明確である。また、表面流として層流則をもちいれば、 $p = 1/3$ ,  $K = (\frac{g}{g \sin \theta})^{1/3}$  ( $g$ : 動粘性係数,  $g$ : 摩擦抵抗係数) で与えられる。水理学的には、 $p = 3$  であるが、水理実験的には、 $p = 3 \sim 7.5$  (粗面) をとるといふが示されている。このモデルは、土砂侵食の研究で多くもちいられており、実験斜面の流れで  $p = 10^2 \sim 10^3$  がえられていくが、実河川での解析は少ない。中間流として Darcy 則をもちいれば、 $p = 1$ ,  $K = (k \sin \theta)^{-1}$  ( $k$ : 透水係数) で与えられる。出水解析として、このモデルのまでの解析例は少なく、斜面崩壊など実験でもちいさくある。長は普通実験的に求められる。

表-1

モードル	計算値	実験値
乱流(ManningのN)(ms)	$10.3(10^9 \sim 10^1)$	$0.4(10^{-1})$
層流(摩擦抵抗係数 $\lambda$ )	$5.9 \times 10^5(10^6)$	$10^3(10^3 \sim 10^4)$
中間流(透水係数 $k$ )(cm/s)	$1.9(10^9 \sim 10^1)$ ( $k_0$ )	$0.03(10^{-2})$

## 3. 試験流域への適用

試験流域は、農林省林業試験場岡山県尾の口山角谷(22ha), 同北谷(17ha)で平均斜面勾配は、それぞれ、0.345, 0.370 である。2.6 出水量群について、上述の3種類のモデルを適用して計算をおこなったが、1例を示すと、図-1のようである。計算の結果えられた各抵抗パラメータ値と水理実験などえられていく値を比較すると、表-1のようである。中間流を除いて、ほとんど、計算値の水理学的意味はないようである。斜面下流端における計算上の Reynolds 敷は、 $10^3$  以下で、一概に層流域に入つていいが、流量と水深の対応で、例えば、最大水深 5m に対し、流速 0.8 m/s の計算値がえられるなど、地表面の流れとは、常識的に考えられるが、実際をうなづく。まことに、中間流モデルについては、



運動の式が線形とは限らないため、図-1をみてもわかるようにハイドログラフとの適合が全くあらねない。以上の結果によると、3種類のモデルとも出水解析として、水理的根柢のあるモデルとはいえないであらう。

#### 4. 出水機構と出水モデル

山地における出水の場合は、地表面付近であり、地表面付近の特性は、表層部（活性層）の有効孔隙、層の厚さ、透水性などとして考えられる。これらの特性は、一般に不均一で、平面的な分布も一様でない。それゆえ、斜面全体にわたって流れが一様に生じてはいるとは考えられぬ。とくに、山林地表層の浸透能は、 $100 \sim 300 \text{ mm/hr}^{-1}$ 程度であることが明らかにされてはいるので、地表面全体にわたって表面流が生じてはいるとは考えられぬ。そこで、地表面に到達した雨水は、活性層内で下方浸透をおこなうが、斜面全体にわたって透水性は、一様ではあるから、下方への透水性の悪さとは限らず、側方流を含め、斜面下流方向における透水性のよさとは集中して流下するであらう。この経路が、「水みち」であると考える。また、このような「水みち」は、活性層が薄く、不透水性の層が下層にある場合には、表面に出たりすとあらうし、流下途中に下層に浸透して地下水流になつたりする場合であると考える。これらは、山林地で降雨期間中に、観察されることがあらが、実際の挙動につれては、その非定常性のため研究は進んではいるようである。ここでは、これを以下のようにモデル化する。まず、「水みち」が活性層内で、図-2のように形成されるとして、斜面の横方向、縱方向に発達する飽和の流れとする。図-2において、断面形状を矩形として、有効幅( $b_*$ )は、有効水深( $h_*$ )との関係で、 $b_* = d'h_*$ であらわされることはし、 $d'$ は $h_*$ の関数であると考え、 $d' = dh_*^m$  ( $d, m$ :定数)とおくと、有効断面積( $A_*$ )は、 $A_* = b_* h_* = d h_*^{m+2}$ となる。さらには、「水みち」は、中間流として、Darcy則を適用すると、実流速( $V_*$ )は、 $V_* = k_0 \sin \theta / (h_*)$ （ $k_0$ : 実流速にみける透水係数）であらわされる。ここで、活性層内の透水係数は、下層から上層に向って大きくなると考えられるから、透水係数も深さ方向、すなわち $h_*$ の関数と考えることにより、 $k_0 = \beta h_*^n$  ( $\beta, n$ :定数)とおく。以上により、運動の式は、

$$A_* = K Q^P, \quad (K = d(1/d \rho \sin \theta)^P, \quad P = m+2/m+n+2) \quad (3)$$

で与えらるる $P = 2/3$ である。また、運動の式は、そのような「水みち」を形成する単位斜面幅( $U_*$ )について、

$$\frac{\partial A_*}{\partial t} + \frac{\partial Q}{\partial x} = Y_e \cdot U_* \quad (4) \quad \text{で示される}.$$

(3)(4)式で示される基礎式につれて、試験流域に適用した結果は、図-3に示すように、 $P = 0.447$ ,  $d = 13$ ,  $\beta = 33$  (平均)で、ハイドログラフとの適合がよく、さらに、透水係数の計算上の値も、ほぼ妥当な範囲内にあつた。たゞ、図-3にみける実測斜面ヒスト地形図上にあって、代表的な斜面形を計測して斜面の流水を計算したものである。さしに、 $K$ ,  $P$ のなかに含まれる $10^\circ$ ラーメンの意義については、実験的に検討中である。

引用文献 1) 例王江, 竹内吉利; 「特性曲線法を利用した流出解析」はつての考察; 流出機構のモデル化統合化に関する研究(特研報告書) 2) 例王江, 吉野; 斜面流出につての理地実験とその解析, 29回年譲

3) 土屋; 地面浸食に関する二、三の水理学的研究, 土論集59号, 4) 村井岩崎; 林地の水系とか土壤保全機能に関する研究(1), 林試報告 274.

図-2

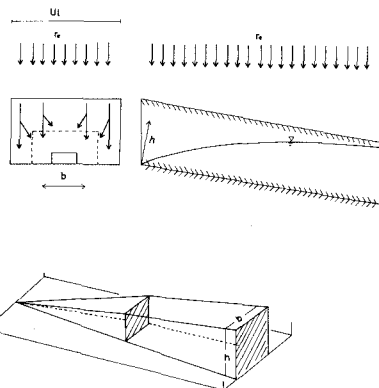


図-3

